

鋼材の低サイクル疲労による破壊過程のモデル化について

京都大学大学院 学生員 小池 武
神戸市役所 正員・泉並 隆二

1. まえがき

鋼材が繰り返し塑性変形を経て疲労破壊に至る過程は、材料特性の累進的な劣化の過程であり、したがってその復元力特性も定常性を保持しているとは言えない。本報告は、この劣化過程を持つ復元力モデルを提案し、その反力特性、1サイクル当たりの消費エネルギー、剛性等の劣化性状に検討を加え実験結果との比較を行なったものである。

2. 履歴復元力モデル

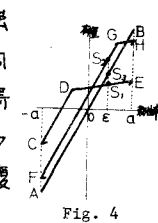
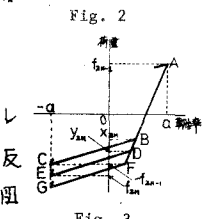
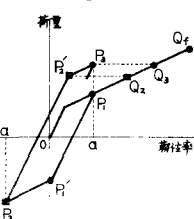
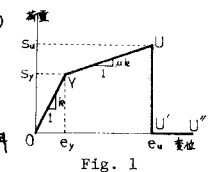
金属材料の塑性疲労破壊過程は、⁽¹⁾繰り返し作用する荷重によって材料に塑性変形を生じる時、その結晶粒内にはすべりが発生しておりそのため生じる歪硬化現象によって材料の反力特性を高める強化過程と、すべりが繰り返されているうちに次第に発展して亀裂の発生・成長に至り反力特性を低下させる弱化過程の2つから構成されていると考えると、静的破壊過程における歪硬化現象及び亀裂の発生成長に伴なう破断現象との間にある類似性が見出せる。

塑性疲労破壊過程が静的破壊過程と同様のパターンをもつと仮定することにより、以下のような構成モデルが提示できる。

材料内部の任意断面には、図1の構成関係を有する要素が様々な階位レベル(S_Y)、究極強度レベル(S_U)をもって連続的に分布して全体的な反力特性を構成しているものとする。そして仮定より繰り返し載荷と共に図2のP₁P_{1'}P₂P_{2'}P₃…の経路を辿るループを描くように制御する。この制御は、式(1)で定義される硬化速度係数 ζ を導入してなされる。 $\zeta = \frac{x_{2n} - y_{2n}}{x_{2n} - f_{2n-1}}$ ----- (1)

図3に示す経路BC($\zeta = 0$)は、従来のBi-linearモデルの場合であり、Bauschinger効果のみが考慮されて反力特性は常に一定のままとなる。経路GF($\zeta = 1$)は、塑性疲労破壊過程における歪硬化の進行度合が静的破壊過程のそれと等しい場合である。塑性疲労破壊過程では、繰り返し数の関数として0と1の間の値となるものと考えられる。

図4に各要素の第nサイクル時の載荷経路を示す。要素の状態は、降伏強度の大きさが分布しているため次の三つに分類される。全體の復元力は、同図に示すように s_1, s_2, s_3 で表わされる三つの状態にある要素がどれぞれ寄与することにより得られる。 s_1, s_2, s_3 の状態の要素をEタイア $^{\circ}$ 、P-Eタイア $^{\circ}$ 、P-Pタイア $^{\circ}$ の要素と名づける。このとき第nサイクル載荷時の履歴復元力曲線(上枝)は次式で与えられる。



$$F_n^+(\epsilon) = B_e + B_{pe} + B_{pp} \quad \text{----- (2)}$$

$$\begin{aligned} z = z'' & \quad B_{pe} = \int_0^{\infty} \int_{\sigma_y}^{\infty} \epsilon \varphi(\sigma_u, \sigma_y) d\sigma_u d\sigma_y, \quad B_{pe} = \int_{T_{2n+1}}^a \int_{-f_{2n}}^{\infty} \{ (\epsilon + a) + f_{2n} \} \varphi(\sigma_u, \sigma_y) d\sigma_u d\sigma_y \\ & B_{pp} = \int_0^{T_{2n+1}} \int_{f_{2n+1}}^{\infty} \{ \mu(\epsilon - a) + f_{2n+1} \} \varphi(\sigma_u, \sigma_y) d\sigma_u d\sigma_y \end{aligned} \quad (3)$$

σ_x^2 は、 σ_y^2 の不均一性を示す連続的な2次元頻度分布関数である。

3. 數值計算結果

本報告の履歴復元力モデルの妥当性を検証するために、H型断面を有する SS41 構造用鋼材を使い、 γ 繰り返し曲げ塑性疲労破壊試験を行なった。実験の詳細については、同時に報告されている後藤等の「くり返し曲げ荷重を受ける構造用鋼材の破壊過程に関する実験」を参考されたいた。解析を簡単にするために Web の影響を無視して Flange 断面のみを解析の対象とした。数値計算にあたって、材料の最大終局塑性率を 50、加工硬化時の第 2 匀配比 $\mu = 0.01$ を実験結果を参考にして採用した。硬化速度係数 a は、本来 くり返し数の関数として逐次変化すると考えられるが、 $n=2^k$ は初期状態とそれ以後の定常状態に対応する 2^{k-2} の値 s_1, s_2 を与えた。

図5は、剛性率変位振中 $\alpha = 2.02$, $\alpha = 2.37$ の場合の履歴復元カルーフ²である。実線が理論値、破線が実験値を示している。理論値が実験値に比べてせすが大きく角張っているが、概略的には近似できることからある。

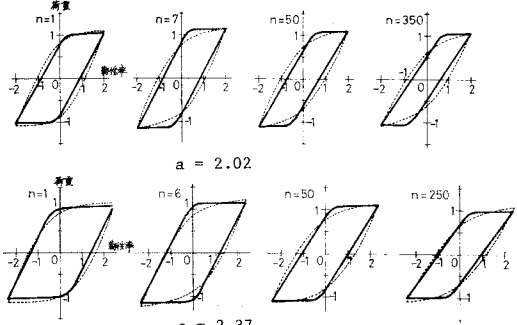


Fig. 5

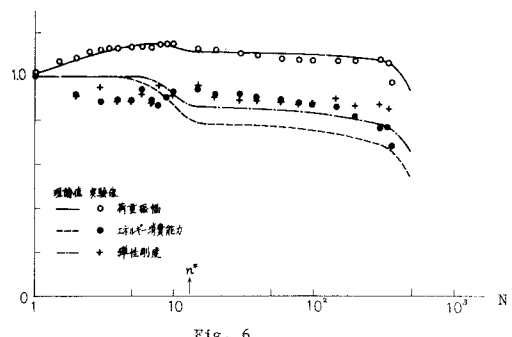


Fig. 6

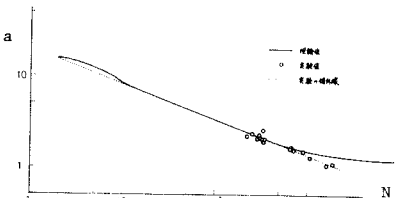


Fig. 7

著者に於ける「靈氣試験」の問題と意見　後記

(2) W.D.Iwan : "The Distributed-Element Concept of Hysteresis and its Steady State Dynamic Response", *J.of App.Mech.*